

OPTOELECTRONICS (2)

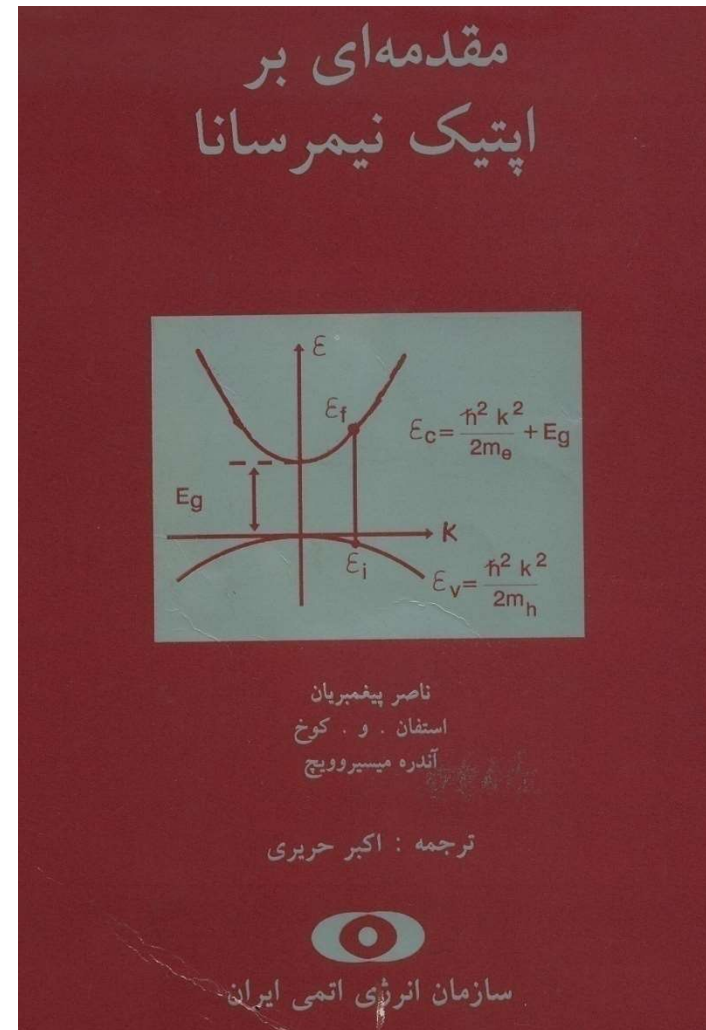
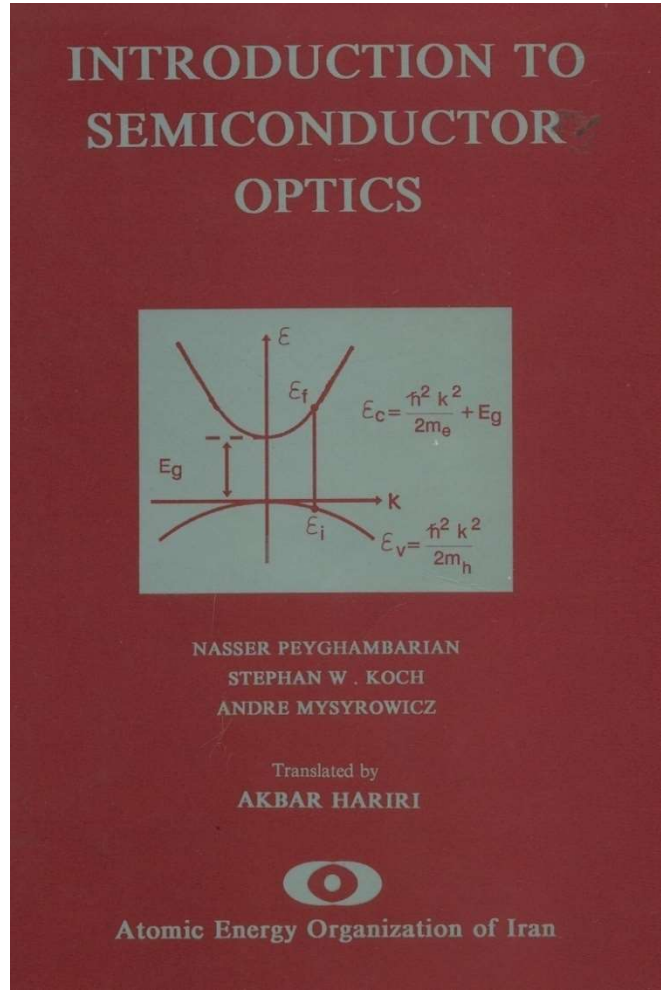
Lecture 7: Linear Optical Properties of Bulk Semiconductors

Mohammad Ali Mansouri-Birjandi

Department of Electrical and Computer Engineering
University of Sistan and Baluchestan (USB)

mansouri@ece.usb.ac.ir
mamansouri@yahoo.com

مرجع



Outline

➤ Introduction

7.1 Gallium Arsenide (GaAs)

7.2 Cuprous Oxide (Cu_2O)

7.3 Cuprous Chloride (CuCl)

7.4 Cadmium Sulfide (CdS)

7.5 Silicon and Germanium (Si & Ge)

فصل ۷: خواص اپتیکی بعضی نیمرساناهای مهم کپه‌ای

مقدمه:

در این فصل خواص اپتیک خطی بعضی نیمرساناهای کپه‌ای تشریح می‌شوند. مطلب را با نیمرسانای گاف مستقیم GaAs آغاز می‌کنیم، زیرا این بلور الگویی را برای اکسایتونهای وانیه با ساختار نواری نسبتاً "ساده فراهم می‌سازد". پس از آن Cu_xO را مورد بحث قرار می‌دهیم زیرا در این نیمرسانا گذارهای اکسایتونی گوناگونی وجود دارند که با نظریه مرتبط با موضوع توافق بسیار خوبی دارند. این امر، بررسی فرایندها را که اغلب در سایر نیمرساناهای به علت پیچیدگی ساختار نواری و انرژی بستگی بسیار ضعیفتر، غیر قابل تفکیک و یا پوشیده می‌شوند، امکان‌پذیر می‌سازد. اغلب CuCl را به عنوان الگویی برای اکسایتونها مورد توجه قرار می‌دهیم. این نمونه ترکیب عناصر I - VII، یعنی شامل یک عنصر از اولین ستون و عنصر دیگر از ستون هفتم جدول تناوبی است. سپس مواد VI - II و در نهایت نیمرساناهای با گاف غیر مستقیم (عناصر Si و Ge) از ستون چهارم جدول تناوبی را بررسی می‌کنیم.

7.1 Gallium Arsenide (GaAs)

۱-۷. گالیوم ارسناید^۱ - GaAs

گالیوم ارسناید نیمرسانایی از ترکیب III-V با Ga از ستون سوم و As از ستون پنجم جدول تناوبی است. این مواد در تکنولوژی جدید از اهمیت ویژه‌ای برخوردار هستند. ترانزیستورهای مبتنی بر GaAs نسبت به ترانزیستورهای Si از سرعتهای بیشتری بهره‌مند هستند. دیودهای لیزری و عناصر فعال اپتیکی غیرخطی با استفاده از GaAs کهای یا GaAs چاههای کوانتمی، در دمای اتاق عمل می‌کنند. انتظار می‌رود که در آینده‌نزدیک مدارهای مبتنی بر تکنولوژی GaAs ارتباط بین الکترونیک معمولی و اپتوالکترونیک را امکان‌پذیر سازند. GaAs دارای ساختار مکعبی بدون تقارن وارونی، است که به گروه نقطه‌ای T_1 که به ساختار ترکیب روی^۲ نیز معروف است، تعلق دارد.

1) Zinc blende

2) face - centered cubic (fcc) lattice

3) Gunn effect

7.1 Gallium Arsenide (GaAs)-2

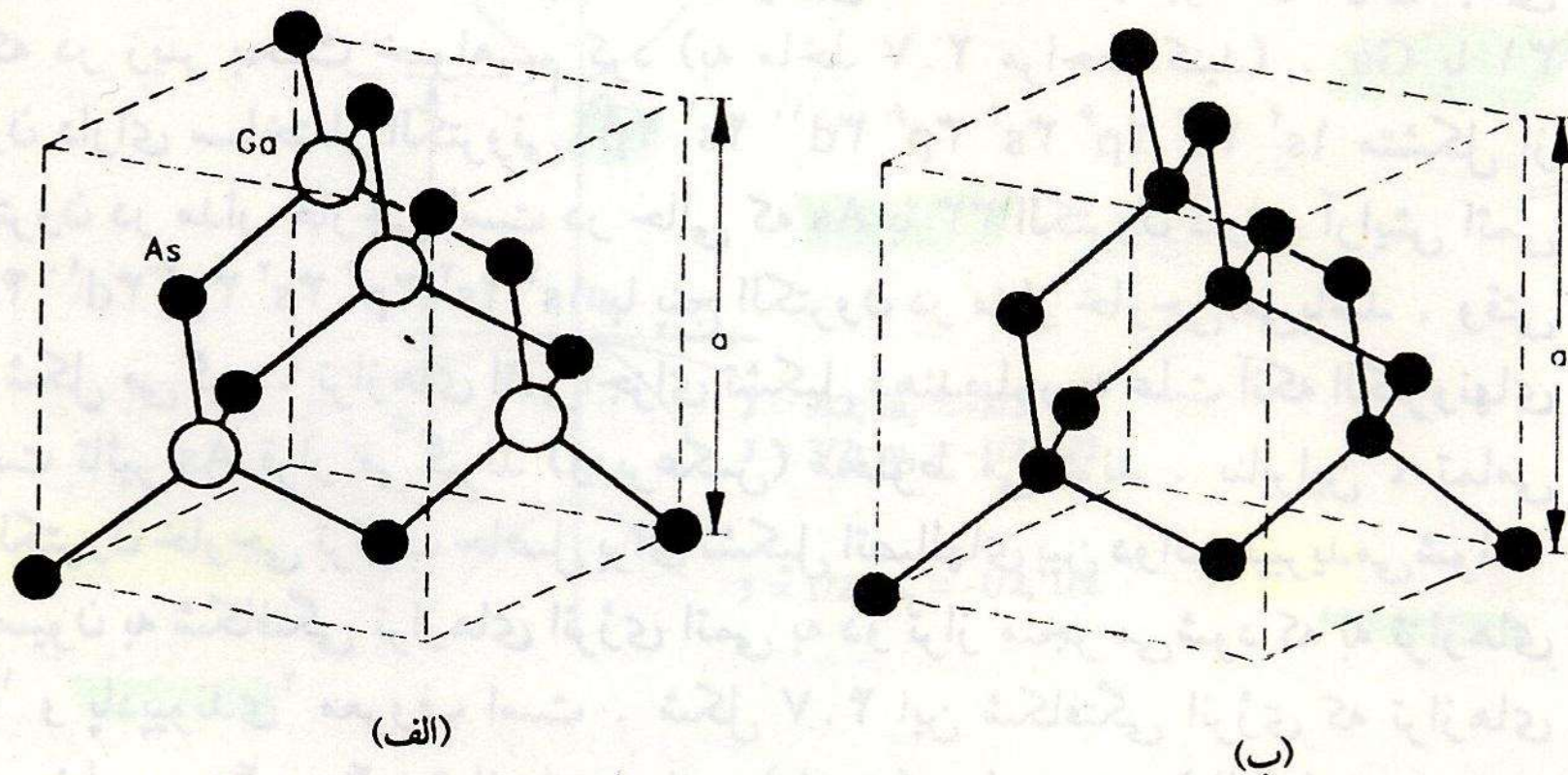
تعلق دارد. آرایش اتمی ساختار ترکیب روی همراه با آرایش الماس در شکل ۱.۷ نشان داده شده است. تفاوت دو ساختار در آن است که در الماس تنها یک نوع اتم وجود دارد. بنابراین، الماس در هر یاخته واحد دارای دو اتم مشابه است، در حالی که GaAs در هر یاخته واحد دارای دو اتم متفاوت [با اتمها در وضعیت $(\frac{1}{4}, \frac{1}{4}, \frac{1}{4})$ و $(\frac{1}{4}, \frac{1}{4}, \frac{1}{4})$] است. ساختار شامل دو شبکه مکعبی مرکز سطحی^۱ است که در امتداد محور [۱۱۱] به اندازه یک چهارم طول قطر از یکدیگر فاصله دارند. ثابت شبکه GaAs برابر است با $a = ۰.۵۶۵۳ \text{ nm}$. ساختار نوار در شکل ۲.۷ نشان داده شده است. توجه کنید که می‌نیموهای نوار رسانایی در نقاط L و X منطقه بریلوئن تقریباً "دارای همان انرژی ماکسیمم نوار رسانایی در نقطه Γ است. بنابراین، GaAs تقریباً "یک نیمرسانای باگاف غیر مستقیم است (در ترکیب مرتبط بلور GaP، می‌نیموها در X و L بیشتر کاهش می‌یابند که منجر به مواد با گاف غیرمستقیم می‌گردد. اثرات فیزیکی مانند اثر گان^۲، و کاربردهایی مثل گسیلندهای میکروموج حالت جامد بستگی به این ویژگی GaAs دارد).

1) Zinc blende

2) face - centered cubic (fcc) lattice

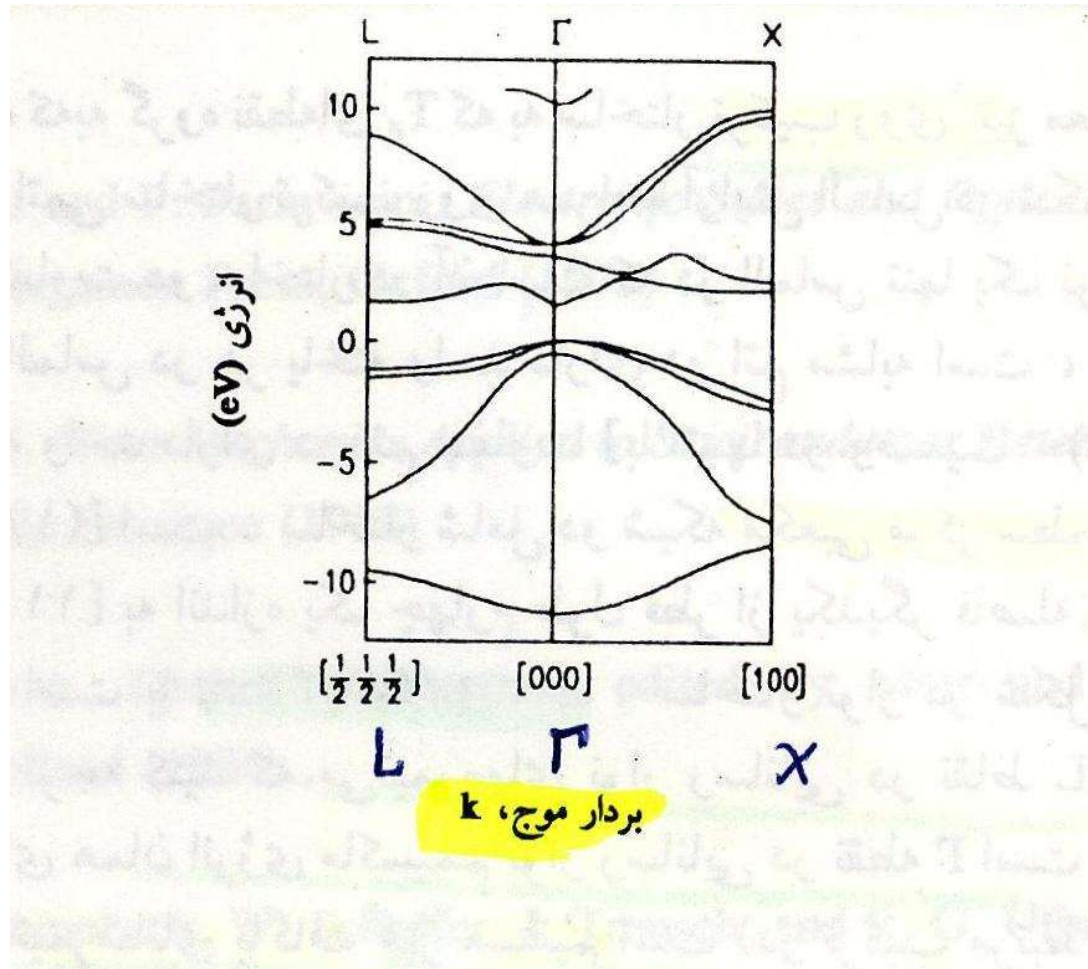
3) Gunn effect

7.1 Gallium Arsenide (GaAs)-3



شكل ٧.١ . (الف) شبکه تركیب روی . (ب) شبکه الماس

7.1 Gallium Arsenide (GaAs)-4



شکل ۷.۲. ساختار نواری GaAs (اقتباس از مأخذ ۱.۷).

7.1 Gallium Arsenide (GaAs)-5

در شکل ۷.۳ نمایی گستردۀ از ساختار نوار نزدیک $E_g = 1.519 \text{ eV}$ با انرژی گاف نوار در نقطه Γ برابر با Γ -III مشابه بوده و دارای مبنای ساختار نواری برای بسیاری از نیمرساناهای ترکیبی V-III است که در زیر بحث خواهیم کرد (به مأخذ ۲.۷ مراجعه کنید). Ga با الکترون دارای ساختار الکترونی $1s^2 2s^2 2p^6 3s^2 3p^6 3d^1 4s^2 4p^3$ متشکل از سه الکترون در مدار خارجی است در حالی که As با $3s^2 3p^6 3d^1 4s^2 4p^3$ هشت الکترون خارجی ترکیب حاصل برای تشکیل اتصالهای بین دو اتم هیبریدی شوند. هیبریداسیون به شکافتگی ترازهای انرژی اتمی به دو تراز منجر می‌شود که به ترازهای پیوندی^۱ و پادپیوندی^۲ معروف است. شکل ۷.۴ این شکافتگی انرژی که ترازهای الکترونی خارجی $4s$ و $4p$ به ترازهای پیوندی (پایینتر) و پادپیوندی (بالاتر) تقسیم شده است را نشان می‌دهد. ترازهای پیوندی انرژی پایینتر از الکترون کاملاً پر شده‌اند، در

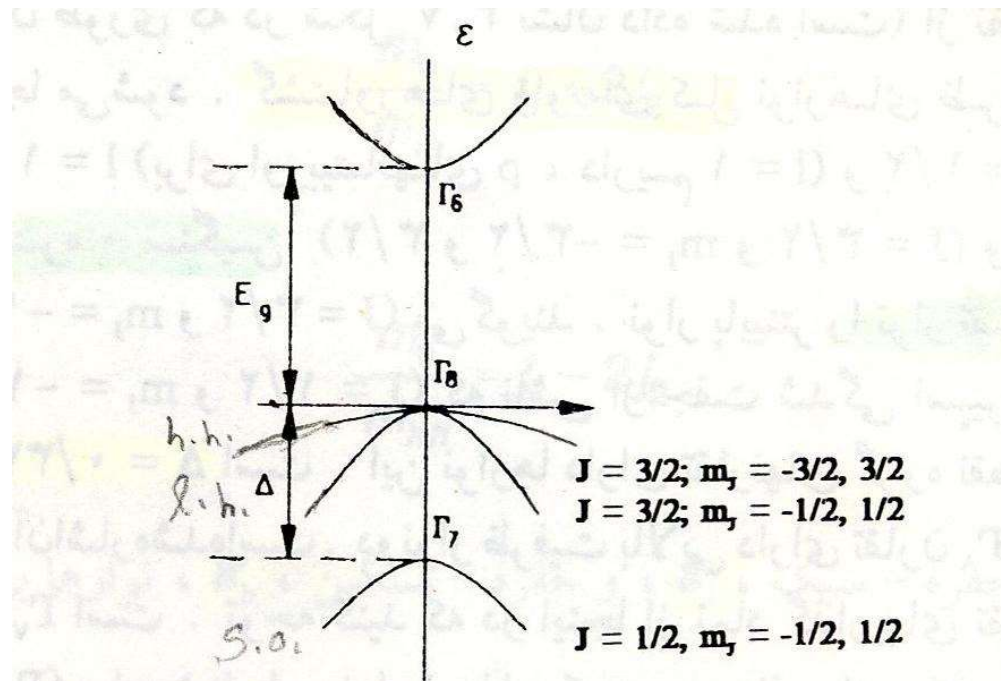
1) bonding levels

2) antibonding levels

7.1 Gallium Arsenide (GaAs)-6

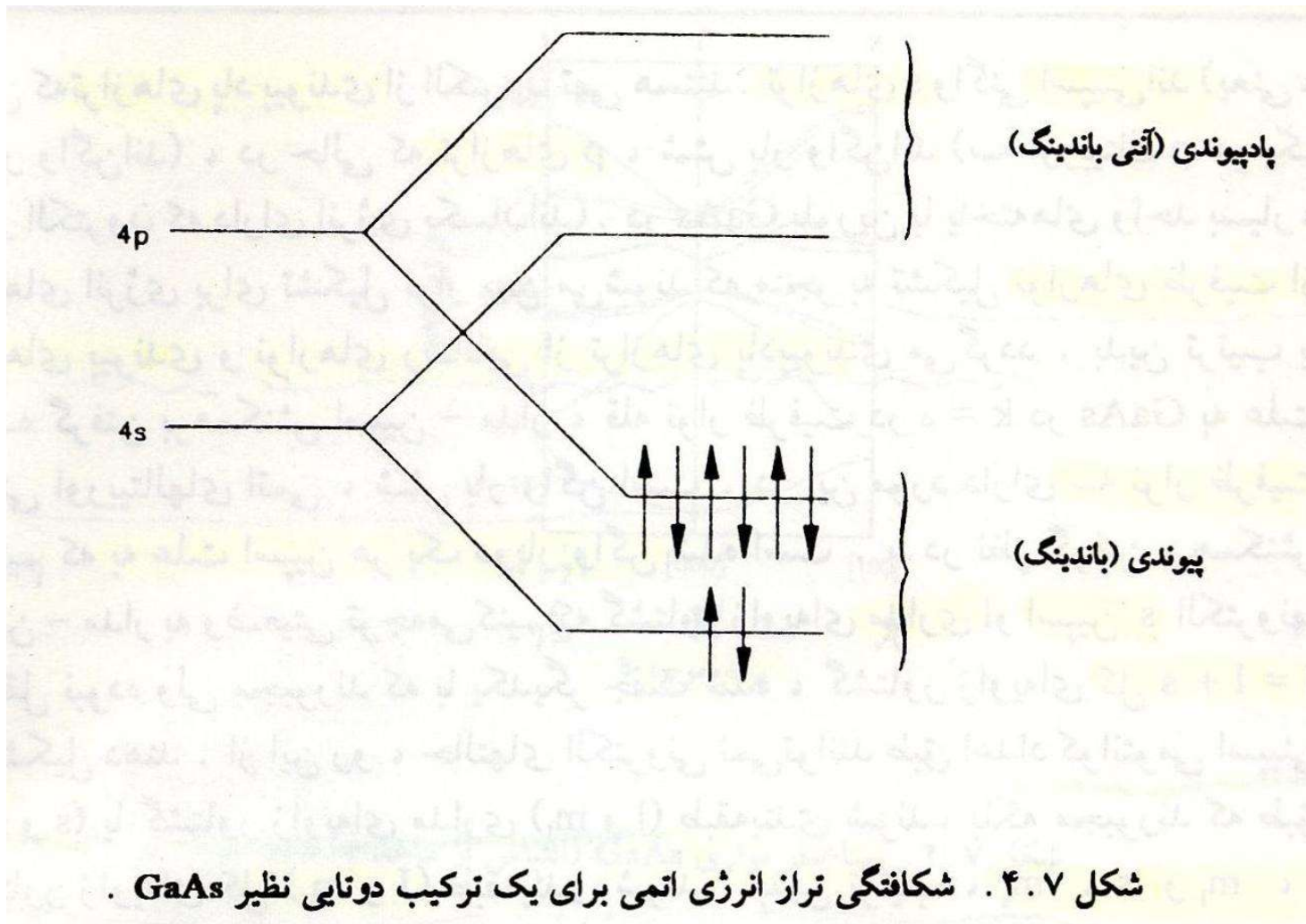
حالی که ترازهای پاد پیوندی از الکترون تهی هستند. ترازهای s و اگنی اسپینی اند (یعنی، دوبار و اگن اند)، در حالی که ترازهای p، شش بار و اگن اند (سه اوربیتال p هر یک با دو الکترون که دارای انرژی یکسان اند). در GaAs بلورین با یاخته‌های واحد بسیار، ترازهای انرژی برای تشکیل نوار پهن می‌شوند که منجر به تشکیل نوارهای ظرفیت از ترازهای پیوندی و نوارهای رسانایی از ترازهای پادپیوندی می‌گردد. بدین ترتیب با نادیده گرفتن برهمکنش اسپین - مدار، قله نوار ظرفیت در $\hbar = k$ در GaAs به علت و اگنی اوربیتالهای اتمی، شش بار و اگن است. در این مورد دارای سه نوار ظرفیت هستیم که به علت اسپین هر یک دوبار و اگن شده است. با در نظر گرفتن برهمکنش اسپین - مدار به وضعیتی توجه می‌کنیم که گشتاور زاویه‌ای مداری J و اسپین s الکترونها مستقل نبوده ولی مجبورند که با یکدیگر جفت شده، گشتاور زاویه‌ای کل $J = 1 + s$ را تشکیل دهند. از این رو، حالت‌های الکترونی نمی‌توانند طبق اعداد کوانتمی اسپینی (m_s و m_l) یا گشتاور زاویه‌ای مداری (m_J و l) طبقه‌بندی شوند، بلکه مجبورند که طبق گشتاور زاویه‌ای کل (m_J و J) طبقه‌بندی شوند. بدین ترتیب، m_s ، m_l و s دیگر "اعداد خوب کوانتمی" نخواهند بود. جفت شدگی اسپین و گشتاور زاویه‌ای

7.1 Gallium Arsenide (GaAs)-7



شکل ۷.۲. ساختار نواری گستردۀ GaAs نزدیک $k = 0$ شامل جفت شدگی اسپین - مدار .

7.1 Gallium Arsenide (GaAs)-8



. شکل ۷.۴. شکافتگی نراز انرژی اتمی برای یک ترکیب دونایی نظیر **GaAs**

7.1 Gallium Arsenide (GaAs)-9

مداری به کاهش بیشتر واگنی نوار ظرفیت منجر می‌شود. بنابراین، یکی از نوارهای ظرفیت (همان طوری که در شکل ۷.۳ نشان داده شده است) از نظر انرژی به سمت پایین جا به جا می‌شود. گشتاورهای زاویه‌ای کل نوارهای ظرفیت $\frac{3}{2}$ و $\frac{1}{2}$ است، چون $s = 1$ (برای اوربیتالهای p، داریم $s = 1$) و $m_J = \frac{1}{2}$ است. دو نوار بالایی را حفره - سنگین^۱ ($\frac{3}{2}$ و $\frac{1}{2}$) و $m_J = -\frac{3}{2}$ و $m_J = \frac{3}{2}$ (J = $\frac{3}{2}$) و حفره - سبک^۲ ($\frac{1}{2}$ و $m_J = -\frac{1}{2}$) می‌گویند. نوار پایینتر را نوار تقسیم شده^۳ می‌نامند ($\frac{1}{2}$ و $m_J = -\frac{1}{2}$) که ناشی از جفت شدگی اسپین - مدار با فاصله انرژی $\Delta = 0.341 \text{ eV}$ است. این نوارها دارای تقارنهای گروه نقطه‌ای هستند که در شکل ۷.۳ به آن اشاره شده است. دونوار ظرفیت بالایی دارای تقارن Γ و نوار تقسیم شده دارای تقارن Γ_7 است. توجه کنید که در اینجا از نماد گذاریهای تقارن گروه نقطه‌ای (نماد گذاری Γ) برای شناسایی نوار استفاده کردیم و منظور از به کار بردن Γ آن است که فرینه‌های نوار در مرکز منطقه بریلوئن واقع می‌شوند و از مفاهیم نظریه گروه صرف نظر کرده‌ایم. طرز قرارگیری نوارهای ظرفیت (با نوار Γ در بالای نوار Γ_7) یک ردیف بندی

1) heavy - hole 2) light - hole 3) split off

7.1 Gallium Arsenide (GaAs)-10

عادی است . واگنی نوار Γ با حرکت $= k$ از بین می رود . بستگی انرژی نوارهای حفره - سنگین و حفره - سبک برحسب k یک ناهمسانگردی را نشان می دهد ، یعنی جرم موثر حفره بستگی به سمتگیری k نسبت به محور بلور دارد . این اثر را اغلب اثر پیچشی^۱ می گویند . علاوه بر این ، نوارهای حفره از قانون ریشه دوم پاشندگی برای انرژیهای $\Delta \sim \hbar^2(k_h)$ (یعنی انرژی جفت شدگی اسپین - مدار) به طرز بارزی انحراف دارند . پاشندگی $(\hbar^2(k_h))$ نوارهای ظرفیت برحسب پارامترهای معروف به لاتینگر^۲ ، j_1 ، j_2 و j_3 ، بیان می شوند . در نزدیک $= k$ با تقریب خوبی داریم (ماخذ ۷.۷ را بینید)

$$\mathcal{E}_l = \frac{\hbar^2 k^2}{2m_{lh}} \quad (1.7)$$

$$\mathcal{E}_h = \frac{\hbar^2 k^2}{2m_{hh}} \quad (2.7)$$

1) warping

2) Luttinger Parameters

7.1 Gallium Arsenide (GaAs)-11

با

و

و

$$\frac{m_0}{m_{lh}} = j_1 + 2j_2 \quad (3.7)$$

$$\frac{m_0}{m_{hh}} = j_1 - 2j_2 \quad (4.7)$$

برای انرژیهای حفره - سبک ، E_h ، و حفره - سنگین ، E_1 ، نوارها برای k در امتداد [100] ، و

$$\frac{m_0}{m_{lh}} = j_1 + 2j_3 \quad (5.7)$$

7.1 Gallium Arsenide (GaAs)-12

$$\frac{m_0}{m_{hh}} = j_1 - 2j_3 \quad (6.7)$$

و همچنین، برای k در امتداد [111] با مقادیر زیر برای پارامترهای لاتینگر برای GaAs

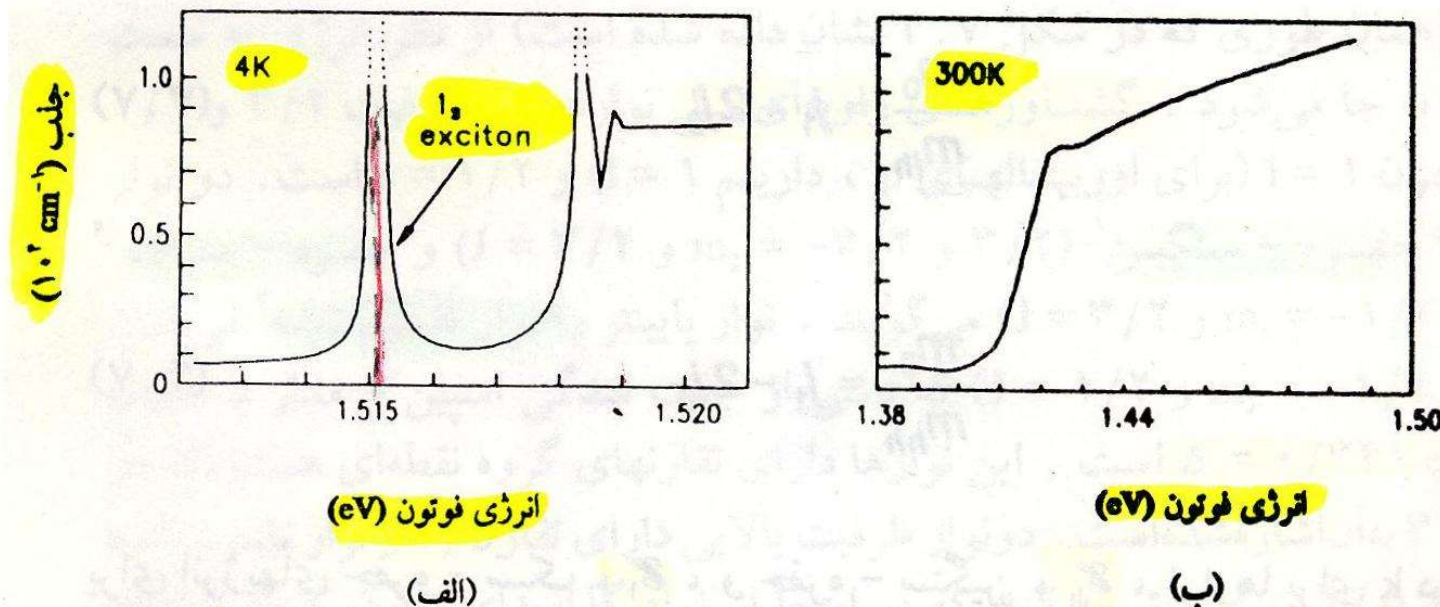
$$j_1 = 6.9 \quad (7.49)$$

$$j_2 = 2.4 \quad (2.41)$$

$$j_3 = 2.6 \quad (3.28) \quad (7.7)$$

هستند، که از مأخذ ۳.۷ اقتباس کرده‌ایم.

7.1 Gallium Arsenide (GaAs)-13



شکل ۷.۵. طیف جذبی GaAs در (الف) دمای پایین (ماخذ ۴.۷) و دمای اتاق (ماخذ ۵.۷).

شکل ۷.۷ طیف جذبی GaAs را در دمای اتاق و دمای پایین نشان می‌دهد. ضرایب جذب بزرگ 10^9 cm^{-1} ~ 10^5 cm^{-1} نشانه‌ای از گذارهای رده‌اول دوقطبی مجاز است. قله در $1/515$ الکترون ولت در دمای اتاق پایین متناظر با اکسایتون $n = 1$ است.

7.1 Gallium Arsenide (GaAs)-14

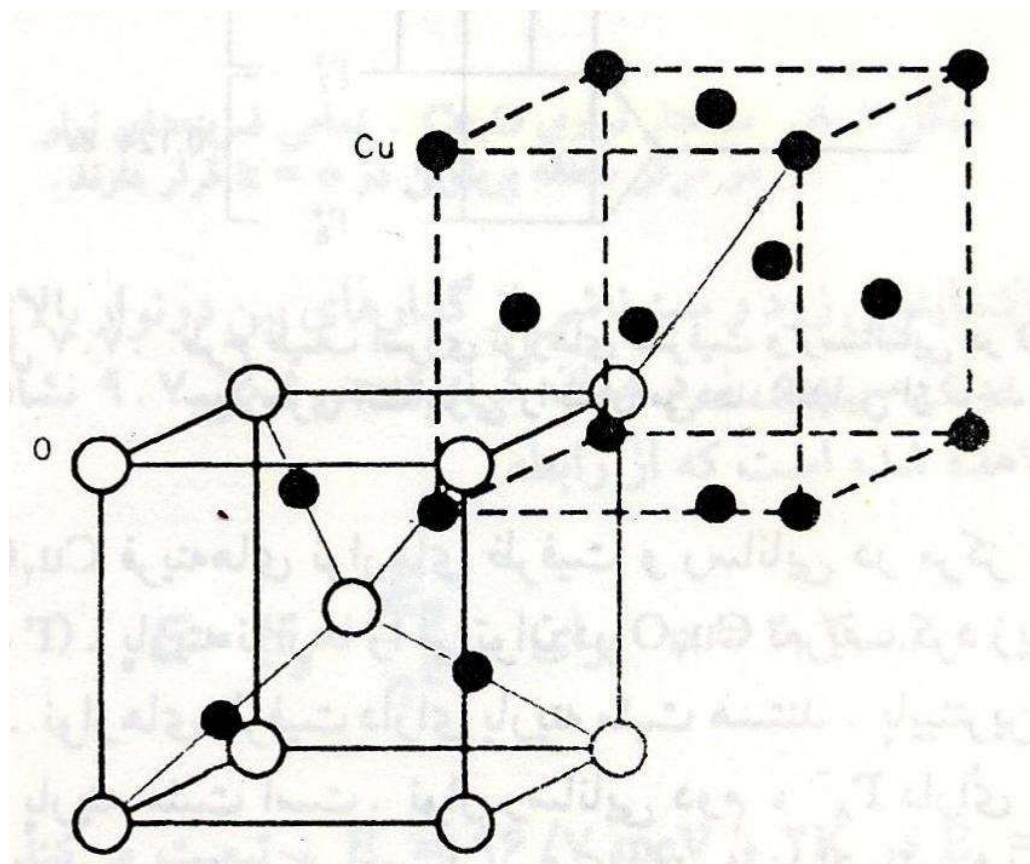
در بلورهای نازک با کیفیت خیلی بالا ، عبارت $n = 2$ نیز مشاهده می‌شود . انرژی بستگی اکسایتون برابر است با $E_B = 4/2 \text{ meV}$. در دمای اتاق ، با $k_B T > E_B$ ساختار اکسایتونی پهن شده و به علت طول عمر فوق العاده کوتاه اکسایتون $s^{-1} 10^{13}$ با پیوستگی نوار به نوار یکی شده ، توسط تجزیه گرمایی به جفت الکترون - حفره غیرآزاد محدود می‌گردد .

7.2 Cuprous Oxide (Cu_2O)

۲-۷. اکسید مس $'\text{Cu}_2\text{O}$

Cu_2O نیمرسانای قرمز رنگی است که در ساختار مکعبی به صورت بلور در آمده ، دارای تقارن وارون است و به تقارن گروه نقطه‌ای O_h تعلق دارد . با وجودی که در نخستین روزهای فیزیک نیمرسانا Cu_2O به عنوان ماده‌ای برای یکسو کننده الکتریکی مورد نظر قرار گرفته می‌شد ، ولی امروزه از نظر تکنیکی چندان حائز اهمیت نیست . ولی ، به علت حضور گذارهای متنوع اکسایتونی که با نظریه در توافق است ، این ماده به عنوان مدلی برای مطالعه اثرات اکسایتونی به خدمت گرفته می‌شود .

7.2 Cuprous Oxide (Cu_2O)-2



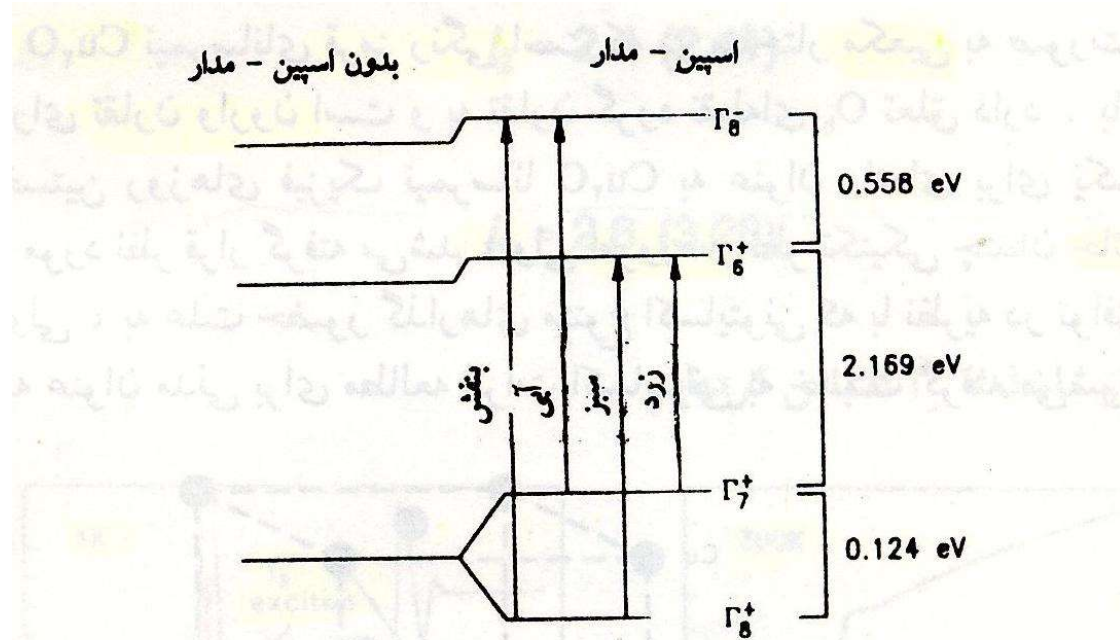
شکل ۷.۶. طرز قرارگیری اتمها در بلور Cu_2O .

7.2 Cuprous Oxide (Cu_2O)-3

در شکل ۷.۶ ترتیب قرارگیری اتمها را در شبکه مستقیم نشان داده‌ایم. اتمهای اکسیژن گوشه‌های شبکه مکعبی مرکز حجمی را اشغال کرده‌اند، در حالی که اتمهای مس در شبکه مکعبی مرکز سطحی با ثابت شبکه $a = 4/\sqrt{2} \text{ \AA}$ قرارگرفته‌اند.

شکل ۷.۷، نوارهای الکترونی مسئول گذارهای نوری در ناحیه مرئی و فرابنفش طیف را نشان می‌دهد. نوار رسانایی از اوربیتالهای $4s$ اتم مس تشکیل شده است. نوار ظرفیت از اوربیتالهای $3d$ تشکیل شده است که در اثر برهمنکنش اسین - مدار شکافته شده‌اند.

7.2 Cuprous Oxide (Cu_2O)-4



شکل ۷.۷. طرح طیف انرژی نوارهای ظرفیت و رسانایی در Cu_2O که چهارسری اکسایتونی را نشان می‌دهد (اقتباس از مانجد ۶.۷).

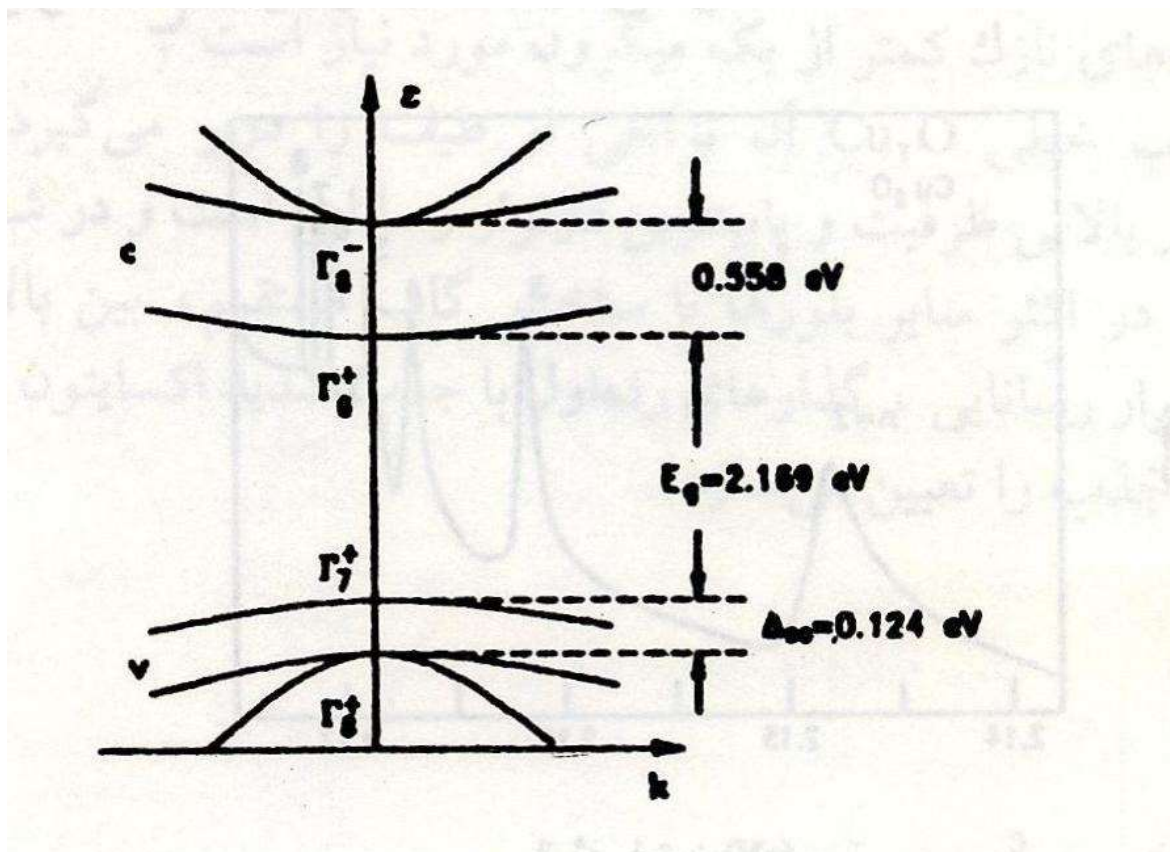
با گذارهای بین نواری بین دونوار ظرفیت و دو نوار رسانایی است. اغلب از آنها به عنوان اکسایتونهای زرد، سبز، آبی و بنفش یاد می‌شود و این به علت ناحیه طیفی است و همان طوری که در شکل ۷.۷ نشان داده شده است آنها در این نواحی ظاهر می‌گردند.

7.2 Cuprous Oxide (Cu_2O)-5

در Cu_2O فرینه‌های نوارهای ظرفیت و رسانایی در مرکز منطقه بریلوئن قرار گرفته‌اند (نقطه Γ). پاریته نوارها را می‌توان در Cu_2O تعریف کرد زیرا مواد دارای مرکز وارون هستند. نوارهای ظرفیت دارای پاریته مثبت هستند. پایینترین نوار رسانایی یعنی Γ_8^+ نیز دارای پاریته مثبت است. نوار رسانایی دوم، Γ_7^- دارای پاریته منفی است. نتیجه ساختار نواری در نزدیک $k = 0.78$ نشان داده شده است. به ترتیب قرارگیری معکوس شکافتگی اسپین - مدار در نوارهای ظرفیت بالایی Γ_7^+ و Γ_8^+ توجه کنید.

در جذب خطی، چهار گروه از خطوط اکسایتونی مشاهده شده‌اند که مرتبط

7.2 Cuprous Oxide (Cu_2O)-6



شکل ۷.۸. ساختار نواری Cu_2O . نمایی فریتنهای نوار در مرکز منطقه بریلوئن در $\mathbf{k} = \mathbf{0}$ قرار دارند.

7.2 Cuprous Oxide (Cu_2O)-7

جذب اکسایتونی زرد و سبز ناشی از گذارهای بین دونوار بالاتر و پایینترین نوار رسانایی است. برای سریهای زرد همان گونه که در شکل ۹.۷ نشان داده شده است تا هفت خط مشاهده شده است که از رابطه

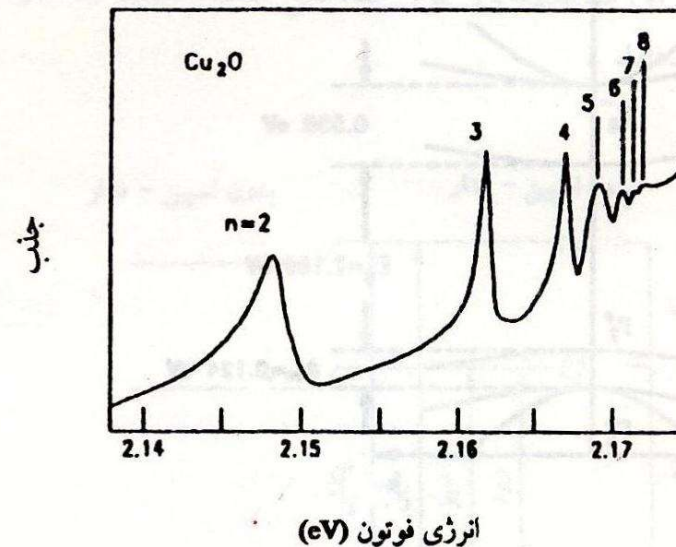
$$E = E_g - \frac{E_B}{n^2} \quad \text{برای } n = 2, 3, \dots \quad (8.7)$$

با $E_g = 2/172 \text{ eV}$ در $T = 2\text{K}$ و $E_B = 96/7 \text{ meV}$ ، تبعیت می‌کند. از آنجایی که هر دو نوار ظرفیت و رسانایی دارای پاریته یکسان مثبت‌اند که ناشی از مشخصه اتمی d و s اصلی‌شان است، در $k = 0$ در تقریب دوقطبی، گذار بین نواری ممنوع می‌باشد ($\Delta E = 2$). بدین ترتیب گذارهای دوقطبی رده دوم با اکسایتونهای نهایی که دارای تابع پوش شبیه- p هستند مجاز خواهند بود. تغییر کلی گشتاور زاویه‌ای خواهد شد

7.2 Cuprous Oxide (Cu_2O)-8

$$\Delta I = \pm 1 \quad \Delta I_{int} = \pm 2 \quad \text{و} \quad \Delta I_{env} = \pm 1 \quad (9.7)$$

توجه داریم که اکسایتون $n = 1$ که می‌باید دارای تابع پوش s باشد نمی‌تواند قانون انتخاب گذار را اقناع سازد و لذا حذف می‌شود.



شکل ۹.۷. طیف جذبی سربهای اکسایتونی زرد Cu_2O در 2K (اقتباس از مأخذ ۷.۷).

7.2 Cuprous Oxide (Cu_2O)-9

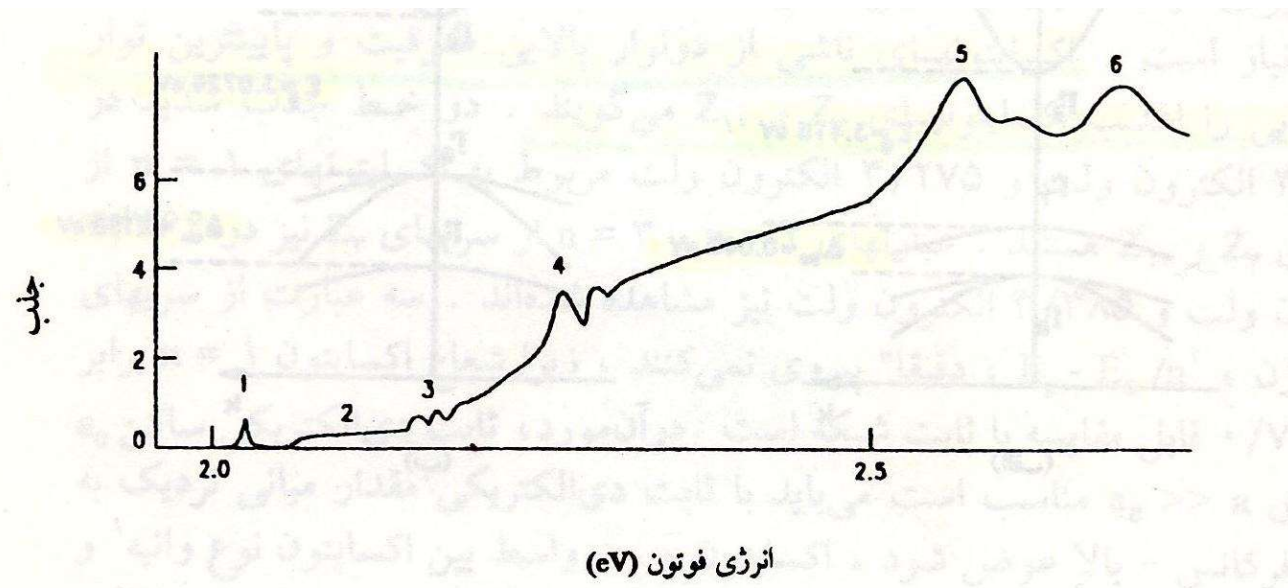
گذارهای دوقطبی رده‌دوم نسبتاً ضعیف هستند. در Cu_2O ضریب جذب اکسایتونهای زرد که در گستره طیفی $2/1 - 2/2 \text{ eV}$ ظاهر می‌شوند در مرتبه $10^3 \text{ cm}^{-1} - 10^2$ قرار می‌گیرند. اکسایتون $n = 1$ به صورت یک خط جذبی بسیار ضعیف در نمونه‌هایی با ضخامت چند میلیمتر می‌تواند قابل مشاهده باشد زیرا گذار در تقریب چهارقطبی مجاز است [به معادله (45.5) مراجعه شود]. گذارهای نوری به تراز اکسایتونی $n = 1$ نیز با همکاری فونونهای اپتیکی نیز می‌تواند به وقوع بپیوندد. مشارکت فونون نوری، پاریته منفی، پاریته و اندازه حرکت مورد نیاز برای تکمیل گذار به حالتهای مختلف k ی نوار اکسایتونی $n = 1$ را فراهم می‌سازد. بنابراین، علاوه بر خط تیز $n = 1$ که به صورت بسیار ضعیف مشاهده می‌شود، لبه جذب هموار (نمونه‌ای نیمرساناهای با گاف غیرمستقیم) در نیمرسانای Cu_2O با گاف مستقیم مشاهده می‌گردد.

7.2 Cuprous Oxide (Cu_2O)-10

در انرژیهای بالاتر فوتون (بالاتر از $2/5 \text{ eV}$) ، خطوط جذبی شدیدی ظاهر می شود که به گذارهای طبقه اول برای اکسایتونهای Δ از دو نوار بالایی ظرفیت و نوار دوم رسانایی مرتبط می شود . پاریته منفی نوار دوم رسانایی گذارهای رده اول از نوارهای ظرفیت پاریته مثبت را مجاز می سازد . برای مشاهده خط جذبی این اکسایتونهای دوقطبی مجاز نمونه های نازک کمتر از یک میکرون مورد نیاز است .

رفتار جذب خطی Cu_2O آن نواحی از طیف را دربر می گیرد که شامل گذارهای بین دونوار بالایی ظرفیت و پایینترین دونوار رسانایی است و در شکل ۷.۱ ترسیم شده است . در اکثر سایر بلورها با ساختار گاف مستقیم ، بین بالاترین نوار ظرفیت و پایینترین نوار رسانایی ، گذارهای رده اول با جذب شدید اکسایتون رخ می دهد که در نتیجه شروع جذب را تعیین می سازد .

7.2 Cuprous Oxide (Cu_2O)-11



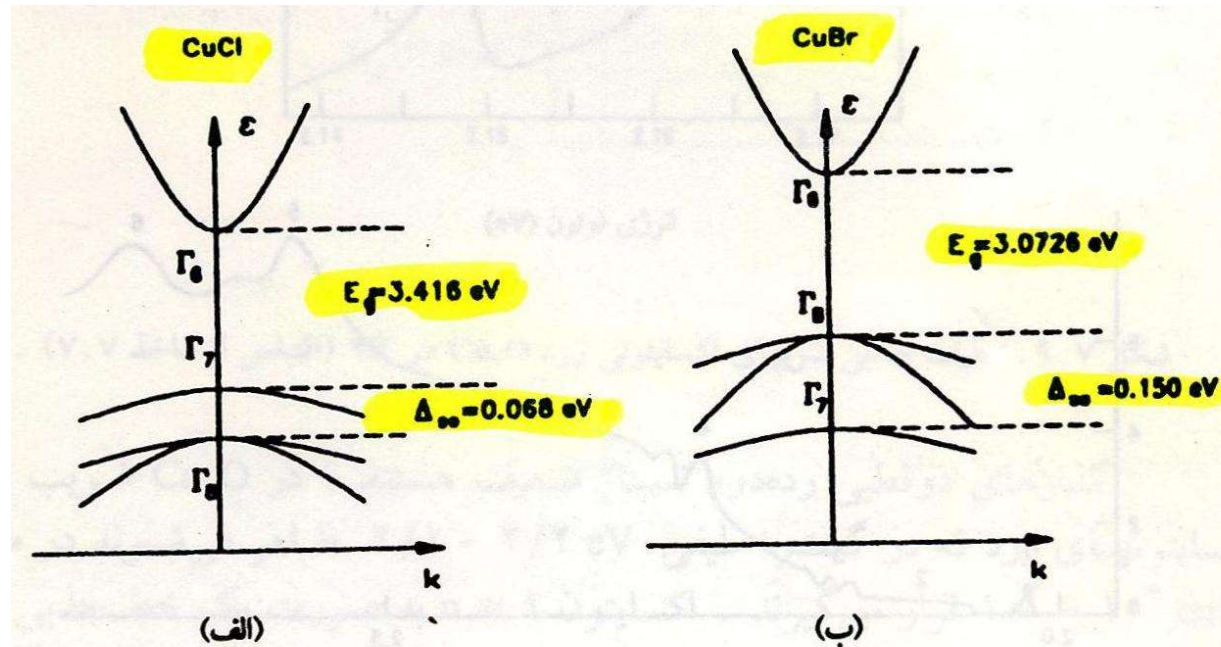
شکل ۷ . ۱ طیف جذبی Cu_2O در دمای پایین . با شروع از انرژیهای پایینتر گذارهای اکسایتونی بعدی امکانپذیر می شود . (۱) $n = 1$ اکسایتون زرد که به صورت گذارهای چهارقطبی به طور ضعیفی مشاهده می شود ، (۲) $n = 2$ اکسایتونهای $n = 2, 3, \dots$ اکسایتون زرد با گذار به کمک فونون ، (۳) $n = 2, 3, \dots$ اکسایتونهای p زرد با گذار رده دوم ، (۴) $n = 2, 3, \dots$ اکسایتونهای p سبز با گذار رده دوم ، (۵) $n = 1, 2, \dots$ اکسایتونهای s آبی با گذار رده اول ، و (۶) $n = 1, 2, \dots$ اکسایتونهای s بنفش با گذار رده اول .

7.3 Cuprous Chloride (CuCl)

۳-۷. کلرید مس (کاپروس کلرید) 'CuCl'

کلرید مس مثال خوبی از یک نیمرسانای ترکیب I - VII است . عموماً "چنین بلورهایی دارای گافهای انرژی بزرگ ، $E_g > 3\text{eV}$ ، هستند و برای تابش مرئی شفاف اند . در زیر C ۴۰۰ ساختار بلور CuCl ترکیب روی^۲ (نظیر GaAs با تقارن گروه نقطه‌ای T_d) است . ثابت شبکه CuCl در دمای اتاق $a = ۵۴۰\text{nm} / ۰$ است . ساختار طرح گونه نوار در شکل ۱۱.۷ نشان داده شده است . فرینه‌های پایینترین نوار رسانایی و بالاترین نوار ظرفیت در مرکز منطقه بریلوئن در نقطه Γ واقع شده‌اند . به علت فقدان تقارن وارون در $k = 0$ ، پاریته‌ای را نمی‌توان به نوارها استناد نمود . نوار رسانایی از اوربیتالهای s از ترازهای ۴s اتم Cu حاصل می‌شود . اصولاً"

7.3 Cuprous Chloride (CuCl)-2



شکل ۱۱.۷. ساختار نواری CuCl (الف) و CuBr (ب) نزدیک نقطه Γ در مرکز منطقه بریلوقن. CuBr ترتیب قرارگیری نوارهای ظرفیت بالایی را با واگنی چهارتایی Γ_8 نوار، در بالای نوار واگن دوتایی Γ_6 نشان می‌دهد. در فاصله دور از $k = 0$ ، نوار Γ_8 به نوارهای حفره - سنگین و حفره سبک تقسیم می‌شود.

7.3 Cuprous Chloride (CuCl)-3

بالاترین نوارهای ظرفیت ، Γ_7 و Γ_8 ، از اوربیتالهای ۳d یونهای Cu (با تقریباً ۲۳٪) ترکیب اوربیتالهای p یون کلرید) حاصل می‌شوند . فاصله Δ انرژی بین دو نوار بالایی ظرفیت ناشی از جفت شدگی اسپین - مدار ۶۸ meV است . ترتیب قرارگیری نوارهای ظرفیت در CuCl با ترتیب قرارگیری نوارها در مواد اختلاط روی [نظیر ترکیبات مرتبط CuBr یا GaAs (شکل ۱۱.۷) ، با نوار واگن دوتایی Γ_7 در بالای نوار چهارتایی Γ_8] اختلاف دارد . این امر ناشی از مشخصه شدید شبه - d نوارهای ظرفیت است که علامت جدادشده اسپین - مدار را تغییر می‌دهد . بنابراین ساختار نوار CuCl خیلی شبیه به مورد Cu_xO است که در بالا مورد بحث قرار گرفت ، بجز آنکه عنصر ماتریسی تک - فوتون بین نواری $\langle v | p | c \rangle$ در $\hbar = k$ بین بالاترین نوار ظرفیت و پایینترین نوار رسانایی مجاز می‌باشد و این به علت آن است که نوار ظرفیت دارای مشخصه پاری شبه - p است . این امر به خطوط جذبی اکسایتون (مطابق با شکل ۱۲.۷) منجر می‌گردد . به علت ضریب جذب بالای 10^5 cm^{-1} ، نزدیک به لبه نوار ، برای طیف نگاری تراگسیلی خطی فیلمهای نازک به ضخامت $d < 0.1 \mu\text{m}$

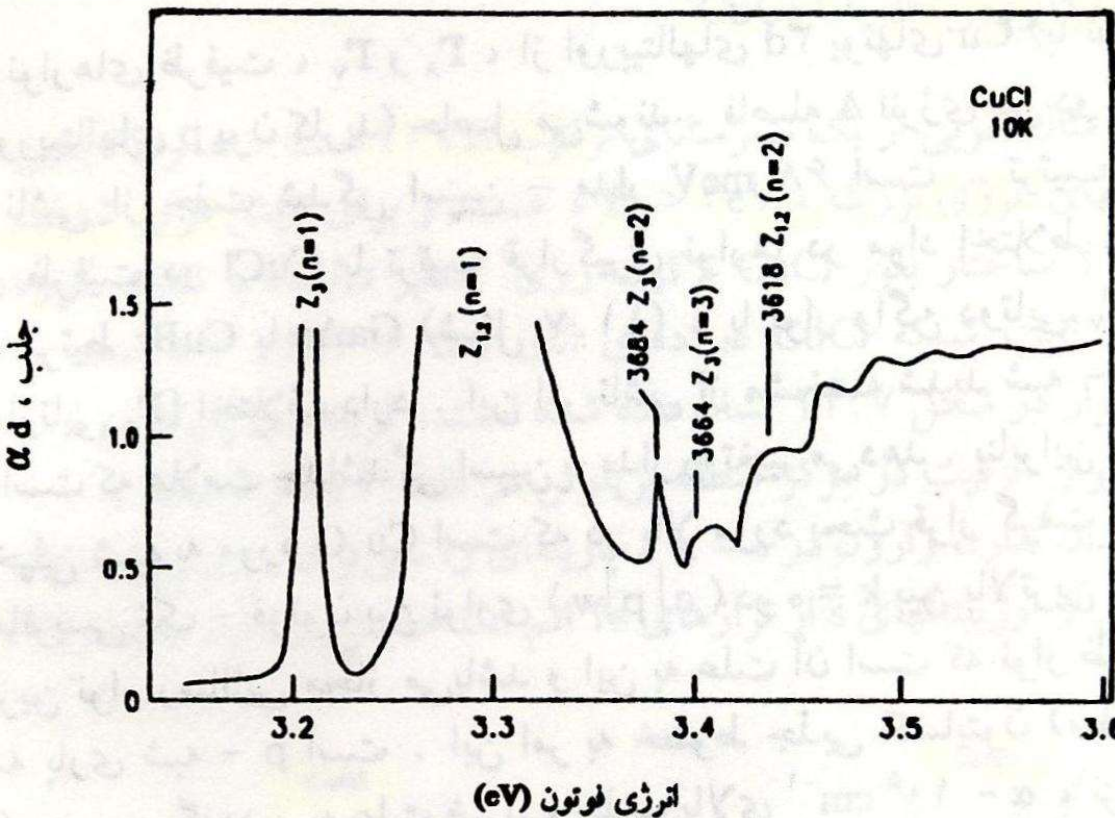
7.3 Cuprous Chloride (CuCl)-4

مورد نیاز است . اکسایتونهای ناشی از دونوار بالایی ظرفیت و پاییترین نوار رسانایی را اغلب اکسایتونهای Z_2 و Z_{12} می‌گویند . دو خط جذب شدید در $3/205$ الکترون ولت و $3/275$ الکترون ولت مربوط به اکسایتونهای $n = 1$ از سریهای Z_2 و Z_{12} هستند . عبارتهای $n = 2$ و $n = 3$ از سریهای Z_2 نیز در $3/366$ الکترون ولت و $3/385$ الکترون ولت نیز مشاهده شده‌اند . سه عبارت از سریهای هیدروژن ، $E_g - E_B/n^2$ ، دقیقاً "پیروی نمی‌کنند ، زیرا شعاع اکسایتون $n = 1$ برابر با 7 nm^0 قابل مقایسه با ثابت شبکه است . در آن مورد ، ثابت دیالکتریکی ساکن ϵ که برای $a_B >> a$ مناسب است می‌باید با ثابت دیالکتریکی مقدار میانی نزدیک به مقدار فرکانس - بالا عوض شود ، اکسایتون ، حد واسط بین اکسایتون نوع وانیه^۱ و نوع فرانکل^۲ خواهد بود . انرژی بستگی $n = 1$ ، اکسایتون نوع Z_2 برابر با 210 eV الکترون ولت است .

به علت جفت شدگی شدید با نور ، اکسایتون $n = 1$ مشخصه پولاریتون قابل ملاحظه‌ای را ارائه می‌دارد . منحنی پاشندگی پولاریتون $n = 1$ ، پولاریتون Z_2 در شکل ۷.۱۳. CuCl نشان داده شده است .

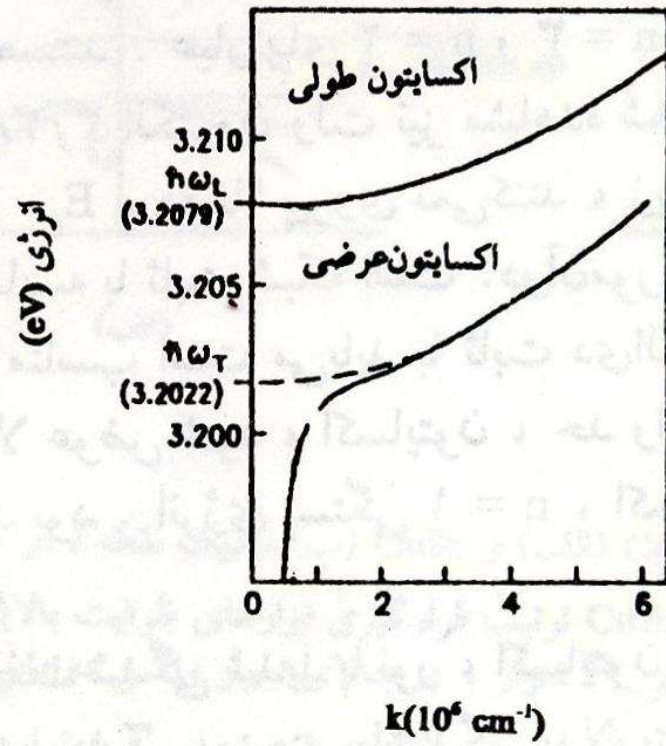
-
- 1) Wannier-type 2) Frenkel-type

7.3 Cuprous Chloride (CuCl)-5



شکل ۱۲.۷. طیف جذبی خطی CuCl در ۲K (اقتباس از مأخذ A. V.). خطوط ۱، ۲، ۳ از سریهای اکسایتونی Z_{1g} و همچنین خطوط اکسایتونی ۱ و ۲ از سریهای Z_{3g} مشاهده می‌شوند.

7.3 Cuprous Chloride (CuCl)-6



شکل ۱۳.۷ . منحنیهای پاشندگی پولاریتون در CuCl (اقتباس از مأخذ ۹.۷).

7.4 Cadmium Sulfide (CdS)

۴-۷. سولفید کادمیوم CdS

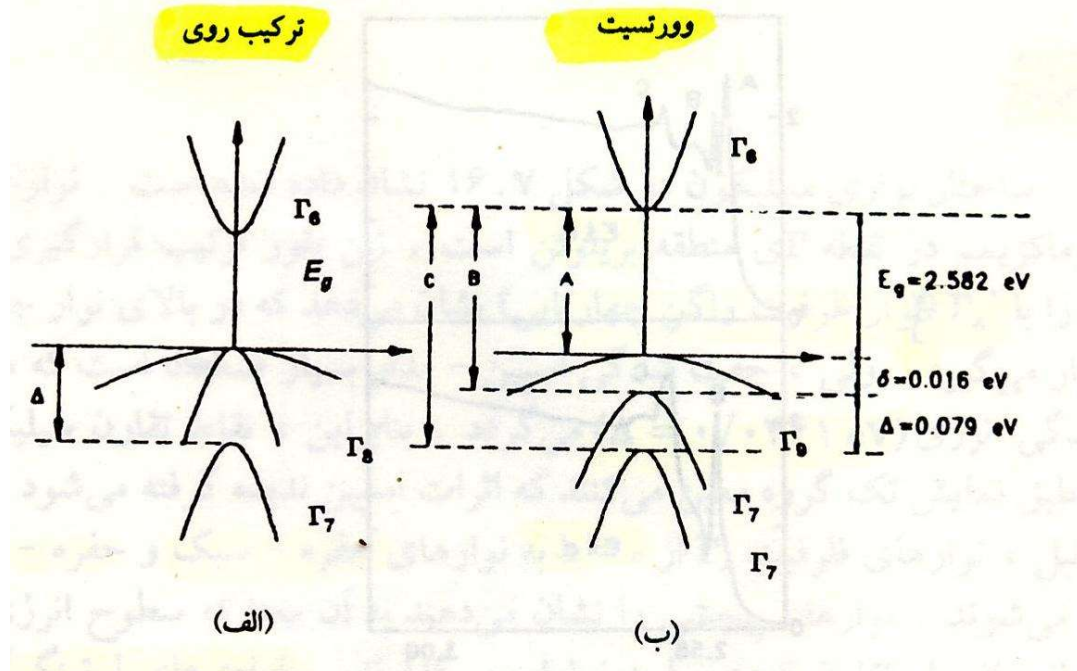
این مواد ترکیب زرد که نمایانگر خانواده II - VI هستند برای خواص اکسایتونیشان به طور گسترهای مورد مطالعه قرار گرفته‌اند (ماخذ ۱۰.۷). ساختار بلوری، وورتیت^۱ با نماد تقارن گروه نقطه‌ای C_{hex} است. این بلور ششگوشی (مگزاگونال)^۲ با یک محور نوری C و تقارن وارون در صفحه xy است. این امر را می‌توان به صورت اعوجاج سه‌وجهی ساختار ترکیب روی در امتداد جهت [۱۱۱] دانست. با فرض ترتیب قرارگیری عادی جداشدگی اسپین - مدار نوارهای ظرفیت، Γ_7 و Γ_8 ، این اعوجاج سه‌وجهی مانند میدان پتانسیلی عمل می‌کند که به میدان بلور دلالت دارد. پایین آوردن تقارن، واگنی نوار Γ_8 را برطرف می‌سازد که به ساختار نواری نشان داده شده در شکل ۷.۱۴ منجر می‌شود.

1) Cadmium Sulfide

2) Wurzite

3) hexagonal

7.4 Cadmium Sulfide (CdS)-2



شکل ۱۴.۷ . ساختار نواری نزدیک $k=0$ برای (الف) ساختار نرکیب روی با جفت شدنگی معمول اسپین - مدار و (ب) ساختار وورنیست با جداشدنگی اضافی ، δ ، ناشی از میدان بلور در نوار ظرفیت بالایی .

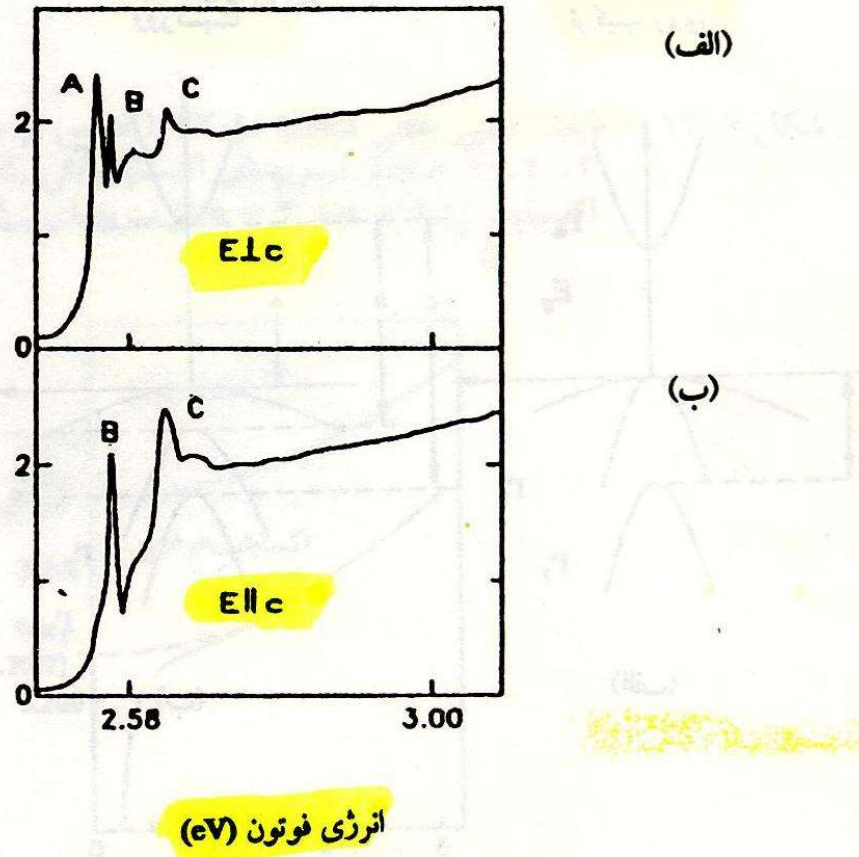
- 1) Cadmium Sulfide
- 2) Wurzite
- 3) hexagonal

7.4 Cadmium Sulfide (CdS)-3

گذارهای بین سه نوار ظرفیت و نوار رسانایی Γ در CdS به صورت مرسوم با A، B و C نشان داده می‌شود.

اکسایتون‌ها از سریهای A، B و C، دوقطبی مجاز و مستقل از جهت قطبش در صفحه xy هستند. از طرف دیگر، برای نوری که عمود بر محور نوری بلور انتشار می‌یابد ($C \perp k$)، بلور رفتار نامحسانگردی^۱ از خود نشان می‌دهد. اگر میدان الکتریکی فرودی در جهت عمود بر محور C بلور قطبیده باشد ($E \perp C$)، اکسایتونهای سریهای A، B و C مانند قبل مجاز هستند. ولی، برای $E // C$ تنها اکسایتونهای شبه-s سریهای B و C مجاز می‌باشند. این جذب نامحسانگردی در شکل ۱۵.۷ نشان داده شده است. انرژی بستگی اکسایتون برای سریهای A و B برابر با ۲۷/۴ meV است.

7.4 Cadmium Sulfide (CdS)-4



شکل ۱۵.۷ . طیف جذبی اکسایتونی CdS برای (الف) $E \perp c$ و (ب) $E \parallel c$

7.5 Silicon and Germanium (Si & Ge)

۵-۷. سیلیکون (Si) و ژرمانیوم (Ge)

این بلورها، مخصوصاً "بلور Si در قلب الکترونیک امروز جای داشته و جزء تشکیل دهنده اکثر ترانزیستورها و سایر اجزای مدارهای مجتمع محسوب می‌شوند. این بلورها کلاً" نسبت به نور مرئی کدر هستند که به آنها نمود فلزی می‌بخشد. خواص نوری آنها در نزدیک لبه جذب با ساختار گاف نوار غیر مستقیم تعیین می‌شود که شروع جذب هموار و نسبتاً ضعیفی را حاصل می‌سازد. خواص نوری Si و Ge نیز در آشکارسازهای کارآمد نور فروسرخ مورد استفاده قرار می‌گیرد.

Si و Ge به ساختار الماس تعلق دارند (گروه نقطه‌ای O_8 با مرکز وارونی)، که شبیه به ترکیب روی است بجز آنکه تنها یک نوع اتم توسط چهار نزدیکترین اتمهای مجاور تشکیل یک چهاروجهی را می‌دهند (شکل ۱.۷ را ببینید). پارامترهای شبکه برای Si و Ge برابر است: $a = ۰.۳۶۵۸ \text{ \AA} = ۰.۵۴۳ \mu\text{m}$.

7.5 Silicon (Si)

سیلیکون

ساختمان نواری سیلیکون در شکل ۱۶.۷ نشان داده شده است . نوار ظرفیت دارای ماکریزم در نقطه Γ ی منطقه بریلوئن است . این بلور ترتیب قرارگیری عادی نوارها را با Γ_8^+ (نوار ظرفیت واگن چهارتایی) نشان می‌دهد که در بالای نوار جدا شده Γ_7^+ قرار می‌گیرد . ولی ، جفت شدگی اسپین - مدار بسیار ضعیف است که منجر به جداشدمگی انرژی ($\Delta = 0.0441 \text{ eV}$) می‌گردد . بنابراین ، نقاط تقارن سیلیکون را غالباً "طبق نمایش تک گروه معین می‌کنند که اثرات اسپین ندیده گرفته می‌شود . مانند مورد قبل ، نوارهای ظرفیت Γ_8 از $k = 0$ به نوارهای حفره - سبک و حفره - سنگین تقسیم می‌شوند . نوارها ، پیچشی را نشان می‌دهند به آن معنا که سطوح انرژی ثابت (k) انحرافی از تقارن کروی را به نمایش می‌گذارند . پارامترهای لوتینگر¹ که در فضای k این ناهمسانگردی را توصیف می‌سازد عبارتند از :

$$j_1 = 4.285, \quad j_2 = 0.339, \quad j_3 = 1.446, \quad (16.7)$$

1) tetrahedron 2) Luttinger

7.5 Silicon (Si)-2

که به میانگین جرم‌های موثر حفره

$$m_{hh} = 0.537 m_0 ,$$

$$m_{lh} = 0.153 m_0 ,$$

و

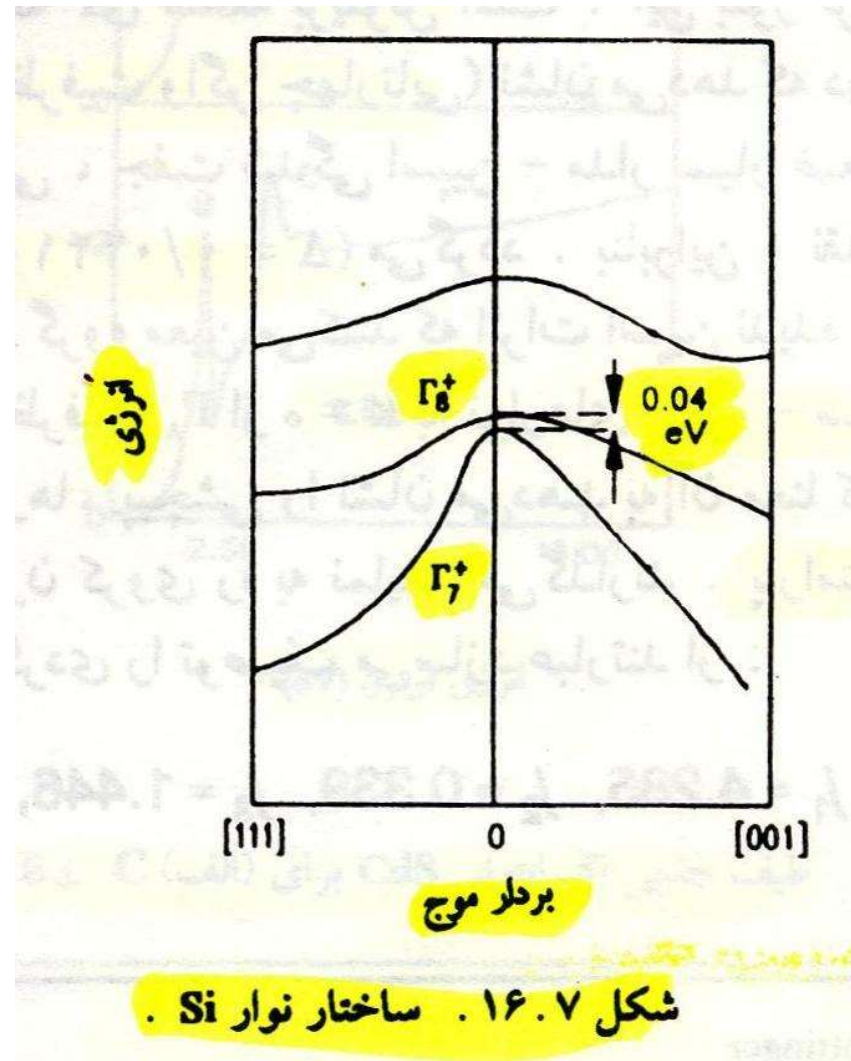
$$m_{so} = 0.234 m_0 \quad (11.7)$$

منجر می‌شود . می‌نیمومهای نوار رسانایی در امتداد محور [۱۰۰] با شش می‌نیموم معادل قرار دارند که حدود $(2\pi/a)/85^{\circ}$ به سمت نقطه تقارن Δ است . سطوح انرژی ثابت دارای شکل بیضیوارهای کشیده‌ای است که در جهت‌های [۱۰۰] قرار می‌گیرند . مقادیر جرم موثر الکترون خواهند شد

$$m_{||} = 0.1905 m_0 \quad \text{جرم طولی}$$

$$m_{\perp} = 0.9163 m_0 \quad \text{جرم عرضی} \quad (12.7)$$

7.5 Silicon (Si)-3



7.5 Germanium (Ge)

ژرمانیوم

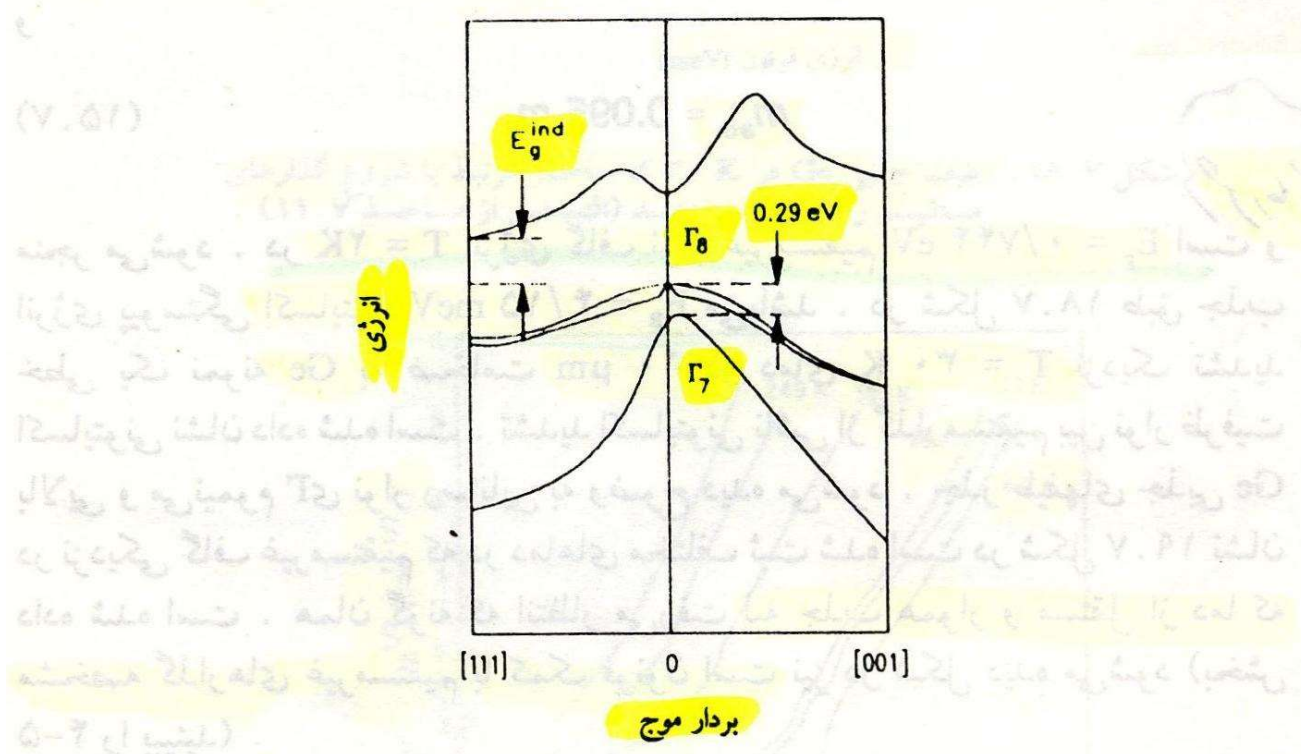
ژرمانیوم نیز یک ماده با گاف غیرمستقیم است (شکل ۱۷.۷ را بینید). نوار رسانایی دارای چهار می‌نیموم معادل در انتهای نقاط محور در جهت [۱۱۱] در منطقه بریلوئن است. در اینجا نیز جرم موثر الکترون به شدت نامحسانگرد می‌باشد. سطوح انرژی ثابت دارای شکل‌های بیضیوار چرخشی است که محور بزرگتر آن در امتداد جهت [۱۱۱] قرار می‌گیرد. جرم‌های موثر الکترون در جهت [۱۱۱] عبارتند از :

$$m_{\theta \perp} = 0.0815 m_0 ,$$

و

$$m_{\theta \parallel} = 1.588 m_0 . \quad (13.7)$$

7.5 Germanium (Ge)-2



شکل ۱۷.۷ . ساختار طرح گونه نوار Ge

نوار ظرفیت شبیه مورد Si است ، به استثنای جداشدگی بزرگتر اسپین - مدار بین نوارهای Γ_8 و Γ_7 ، با $\Delta = 0.296 \text{ eV}$. پارامترهای لوتنینگر j_1 ، j_2 و j_3 به قرار زیراند :

7.5 Germanium (Ge)-3

$$j_1 = 13.35$$

$$j_2 = 4.25$$

$$j_3 = 5.69 \quad (14.7)$$

که به جرمهای موثر حفره

$$m_{hh} = 0.284 m_0$$

$$m_{lh} = 0.0438 m_0$$

$$m_{so} = 0.095 m_0 \quad (15.7)$$

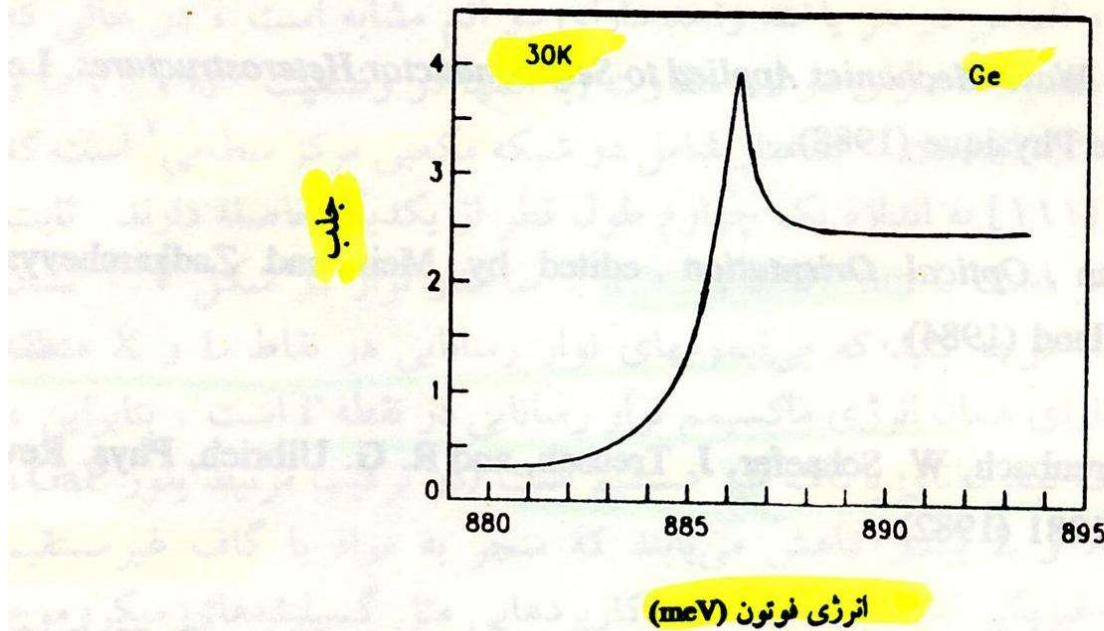
7.5 Germanium (Ge)-4

منجر می شود . در $T = 2K$ انرژی گاف نوار غیرمستقیم $E_g = 0.744 \text{ eV}$ است و
انرژی پیوستگی اکسایتون $E_B = 4.15 \text{ meV}$ می باشد . در شکل ۱۸.۷ طبق جذب
خطی یک نمونه Ge به ضخامت $10 \mu\text{m}$ در دمای $T = 30 \text{ K}$ نزدیک تشدید
اکسایتونی نشان داده شده است . تشدید اکسایتونی ناشی از گذارمستقیم بین نوار ظرفیت
بالایی و می نیوم Γ نوار رسانایی به وضوح دیده می شود . جذر طیفهای جذبی Ge
در نزدیکی گاف غیرمستقیم که در دماهای مختلف ثبت شده است در شکل ۱۹.۷ نشان
داده شده است . همان گونه که انتظار می رفت لبه جذب هموار و مستقل از دما که
مشخصه گذارهای غیرمستقیم با کمک فونون است نیز در شکل دیده می شود (بخش
۴-۵ را ببینید) .

بلورهای ژرمانیوم و سیلیکون را می توان به صورت فوق خالص با غلظت
عیوب کمتر از 10^{13} cm^{-3} رشد داد . از آنجایی که فرایند ترکیب مجدد تابشی گذاری
غیرمستقیم است (جذب معکوس) ، ولذا در تقریب مرتبه اول ممنوع می باشد ، طول
عمرهای اکسایتون طولانی و در مرتبه s^5 در بلورهای فوق خالص می باشد . در
چنین نمونه هایی (مانند مورد Cu_2O) می توان انتقال اکسایتون را در فواصل ماکروسکوپی

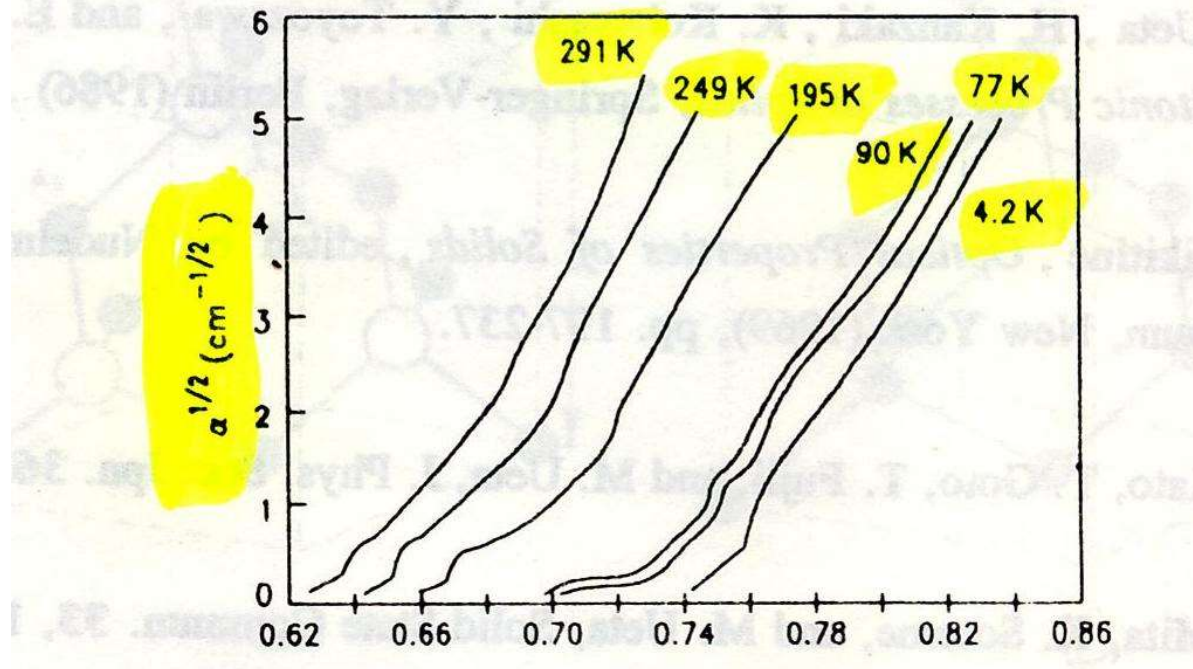
7.5 Germanium (Ge)-5

مشاهده کرد . بنابراین ، اکسایتون‌ها نسبت به مراکز فروافت غیرتابشی ، حتی اگر این مراکز دارای چگالی پایینی باشند ، حساس هستند . اینها دلایلی هستند که Si و Ge در زمرة گسیلندهای نوری ضعیف قرار می‌گیرند .



شکل ۱۸.۷ . طیف جذبی Ge در K ۳۰ که ساختار مرتبط با شروع گذارهای مستقیم را نشان می‌دهد (اقتباس از مأخذ ۱۱.۷) .

7.5 Germanium (Ge)-6



شکل ۷.۱۹. طیف جذبی Ge که شروع گذارهای غیرمستقیم در دماهای مختلف را نشان می‌دهد (اقتباس از مباحثه ۱۲.۷).

